

Tidsutvikling av forventningsverdier

Fra SL følger at (så lenge $\partial \hat{A} / \partial t = 0$)

$$\frac{d}{dt} \langle A \rangle = \frac{i}{\hbar} \langle [\hat{H}, \hat{A}] \rangle$$

Hvis $[\hat{H}, \hat{A}] = 0$, er $\langle A \rangle$ en bevegelseskonsant.

Eks: Fri partikkkel, $\Psi(x) = e^{ipx/\hbar}$; $\frac{d}{dt} \langle p \rangle = ?$

Nå er $\hat{H} = \hat{p}^2/2m$, slik at $[\hat{H}, \hat{p}] = 0$,
dvs $\langle p \rangle = p = \text{konstant}$

Klassiske bevegelsesligninger i 1D:

$$\frac{dx}{dt} = \frac{p}{m}; \quad \frac{dp}{dt} = -\frac{\partial V}{\partial x} \quad (= F)$$

I QM har vi tilsvarende lign. for $\langle x \rangle$ og $\langle p \rangle$.

Vi må regne ut $[\hat{H}, x]$ og $[\hat{H}, \hat{p}]$, med

$$\hat{H} = \hat{K} + \hat{V} = \hat{p}^2/2m + V(x):$$

$$[\hat{H}, x] = \frac{1}{2m} [\hat{p}^2, x] + \underbrace{[V(x), x]}_{=0}$$

$$\begin{aligned}
 [\hat{p}^2, x] &= \hat{p}^2 x - x \hat{p}^2 = \hat{p}(\hat{p}x) - (x\hat{p})\hat{p} \\
 &= \underbrace{\hat{p}(\hat{p}x)}_{= -i\hbar} - (\hat{p}x)\hat{p} + \underbrace{(\hat{p}x)\hat{p}}_{= -i\hbar} - (x\hat{p})\hat{p} \\
 &= \hat{p} \underbrace{(\hat{p}x - x\hat{p})}_{= -i\hbar} + \underbrace{(\hat{p}x - x\hat{p})\hat{p}}_{= -i\hbar} = -2i\hbar\hat{p}
 \end{aligned}$$

$$\Rightarrow \frac{d\langle x \rangle}{dt} = \frac{i}{\hbar} \frac{1}{2m} (-2i\hbar) \langle \hat{p} \rangle = \frac{\langle p \rangle}{m}$$

$$[\hat{H}, \hat{p}] = \frac{1}{2m} \underbrace{[\hat{p}^2, \hat{p}]}_{= 0} + [V(x), \hat{p}] = [V(x), \hat{p}]$$

$$\begin{aligned}
 [V(x), \hat{p}] \psi(x) &= V(x) \frac{\hbar}{i} \frac{\partial}{\partial x} \psi(x) - \frac{\hbar}{i} \frac{\partial}{\partial x} (V(x)\psi(x)) \\
 &= -\frac{\hbar}{i} \frac{\partial V}{\partial x} \cdot \psi(x)
 \end{aligned}$$

$$\Rightarrow \frac{d}{dt} \langle p \rangle = \frac{i}{\hbar} \left(-\frac{\hbar}{i}\right) \langle \frac{\partial V}{\partial x} \rangle = \langle -\frac{\partial V}{\partial x} \rangle$$

Oppsummert er dette Ehrenfests teorem:

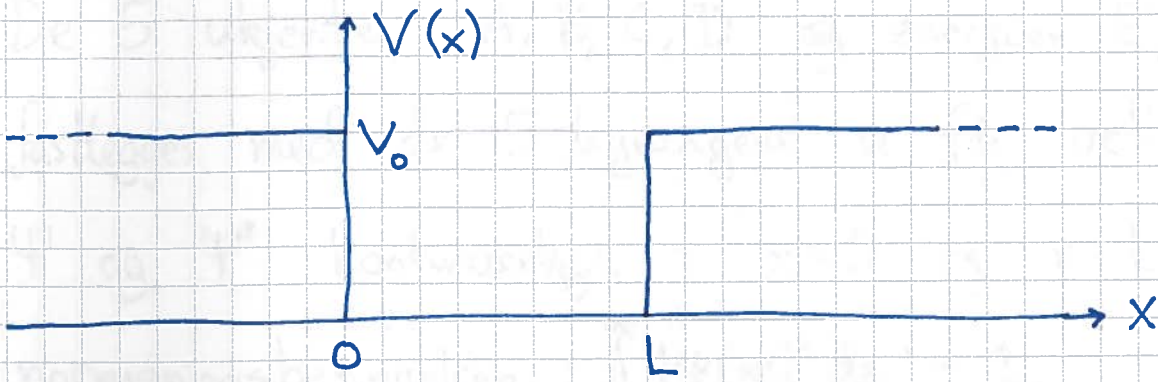
$$\boxed{\frac{d\langle x \rangle}{dt} = \frac{\langle p \rangle}{m} ; \quad \frac{d\langle p \rangle}{dt} = \langle -\frac{\partial V}{\partial x} \rangle}$$

ext. i 3D:

$$\frac{d\langle \vec{r} \rangle}{dt} = \frac{\langle \vec{p} \rangle}{m} ; \quad \frac{d\langle \vec{p} \rangle}{dt} = \langle -\nabla V \rangle$$

Eksempler og anvendelser

Endelig potensialbrønn



$$V(x) = 0 \text{ for } 0 < x < L ; \quad V(x) = V_0 \text{ ellers}$$

(Relevans: Halvledere. Nanoteknologi.)

$$\text{TUSL: } \hat{H} \Psi(x) = E \Psi(x)$$

$$\Rightarrow \Psi''(x) = \begin{cases} -\frac{2mE}{\hbar^2} \Psi(x) & ; \quad 0 < x < L \\ \frac{2m}{\hbar^2} (V_0 - E) \Psi(x) & ; \quad \text{ellers} \end{cases}$$

Med $k = \sqrt{2mE}/\hbar$ og $\beta E = \sqrt{2m(V_0 - E)}/\hbar$ blir

bundne tilstander, med $E < V_0$, på formen

$$\Psi(x) = \begin{cases} C \sin kx + D \cos kx & ; \quad 0 < x < L \\ A e^{\beta E x} + B e^{-\beta E x} & ; \quad \text{ellers} \end{cases}$$

Må her velge $\Psi(x) = A e^{\beta ex}$ for $x < 0$

og $\Psi(x) = B e^{-\beta ex}$ for $x > L$, for å unngå at $|\Psi| \rightarrow \infty$ når $|x| \rightarrow \infty$.

De 5 ukjente, A, B, C, D og energien E , fastlegges med de 5 ligningene vi får ved å kreve Ψ og Ψ' kontinuerlige i $x=0$ og $x=L$, samt normeringsbetingelsen $\int_{-\infty}^{\infty} |\Psi(x)|^2 dx = 1$.

Gir symmetriske $\Psi(x)$ med energier bestemt ved

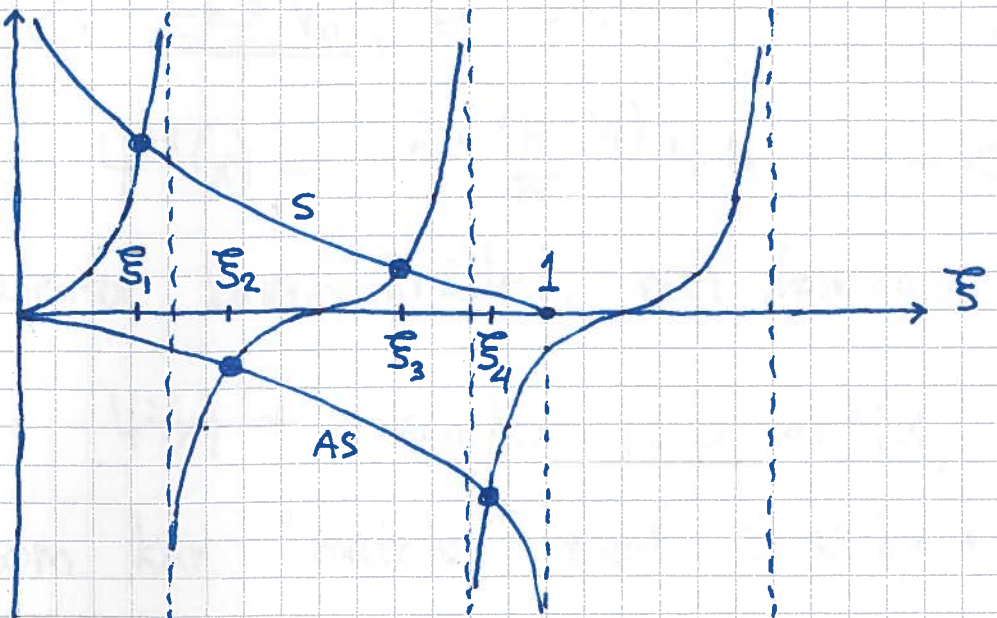
$$\tan(kL/2) = \beta e/k$$

og antisymmetriske $\Psi(x)$ med energier bestemt ved

$$\tan(kL/2) = -k/\beta e$$

Disse kan ikke løses "på lukket form", men kan framstilles grafisk. Innfører den dim.lose størrelsen $\xi = \sqrt{E/V_0} < 1$, som gir ligningene

$$\tan\left(\xi \cdot \frac{\sqrt{2mV_0}}{2\hbar} L\right) = \begin{cases} -\sqrt{1-\xi^2}/\xi &; \text{symm.} \\ -\xi/\sqrt{1-\xi^2} &; \text{antisymm.} \end{cases}$$



- Alltid minst 1 bundet tilstand
 - Vekselvis S, AS, S, \dots for økende energi
 - Flere bundne tilstrender jo dypere og bredere brønn
 - Her: 4 bundne tilst. med energi $E_n = V_0 \cdot \xi_n^2$
 - Merk at $|Y|^2 > 0$ også utenfor brønnen, der $E < V$: Partikkelen kan "besøke" det klassisk forbudte området!

Hvis $E > V_0$, er

$$\Psi''(x) = -\frac{2m(E-V_0)}{\hbar^2} \Psi(x) = -K^2 \Psi(x)$$

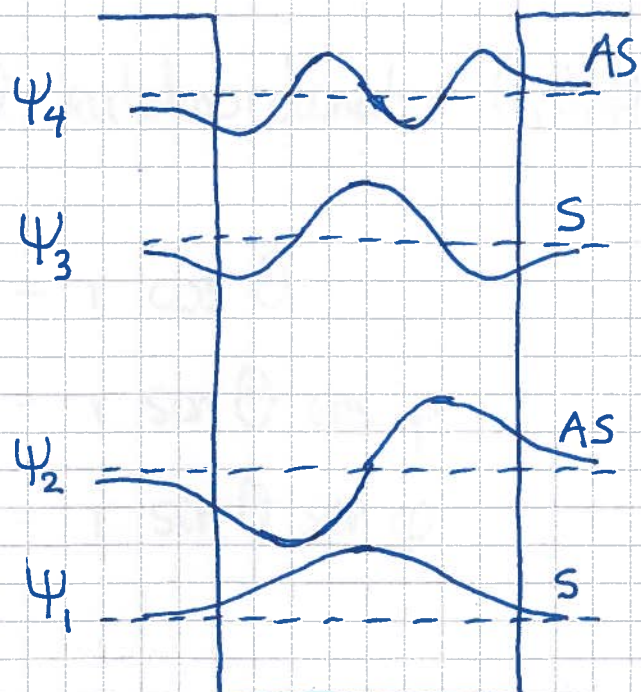
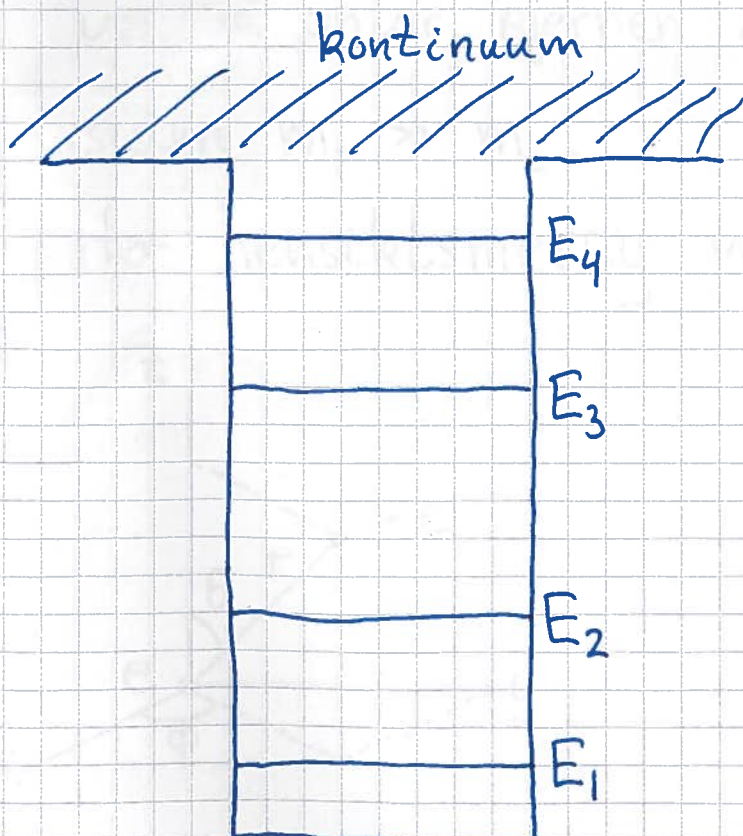
utenfor brønnonområdet, med løsning

$$\Psi(x) = a \sin Kx + b \cos Kx,$$

som kan "matches" med $C \sin kx + D \cos kx$

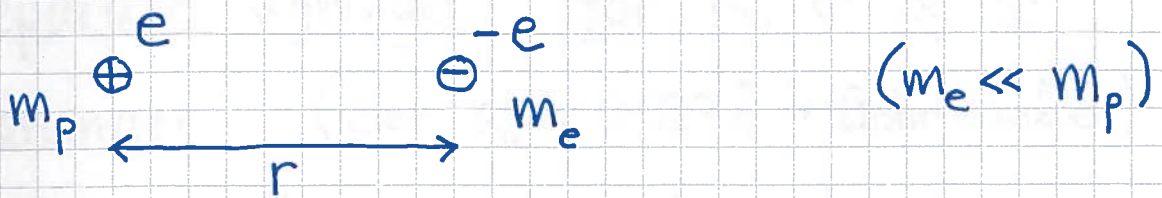
(dvs Ψ og Ψ' begge kontinuerlige i $x=0$ og $x=L$)

for alle verdier av $E > V_0$. Dvs, vi har et
kontinuerlig energispektrum for $E > V_0$.



Goulombpotensialet

Vi gjør som Schrödinger og ser på H-atomet:



$$V(\vec{r}) = V(r) = -\frac{e^2}{4\pi\epsilon_0 r} \quad (\text{kulesymmetrisk})$$

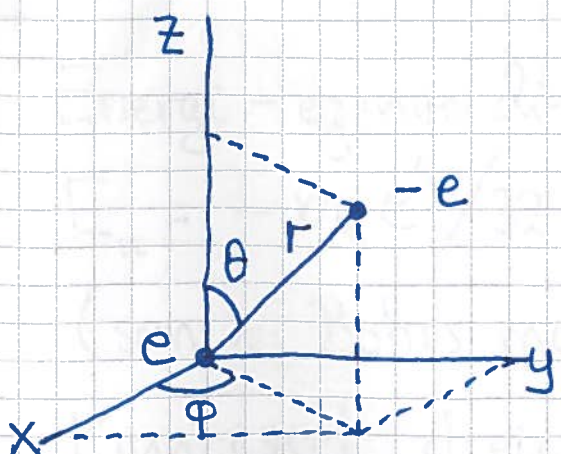
TUSL: $\hat{H}\Psi = E\Psi$

med

$$\hat{H} = -\frac{\hbar^2}{2m_e} \nabla^2 - \frac{e^2}{4\pi\epsilon_0 r}$$

Dus, vi antar kjernen i ro; OK tilnærrelse siden $m_p \gg m_e$.

Her hensiktsmessig med kulekoordinater (r, θ, φ) :



$$z = r \cos \theta$$

$$x = r \sin \theta \cos \varphi$$

$$y = r \sin \theta \sin \varphi$$

Schrödinger løste TUSL; vi nøyer oss med å se nærmere på løsningen.

TUSL har produktløsninger

$$\Psi(r, \theta, \varphi) = R(r) \cdot \Theta(\theta) \cdot \Phi(\varphi)$$

med separate ligninger for R , Θ og Φ

og løsninger (der $a_0 \approx 0.529\text{\AA} = \text{Bohr-radien}$)

$$R_{n\ell} (r) = e^{-r/a_0} \cdot \{ \text{polynom i } r/a_0 \}$$

$$\Theta_{\ell m_\ell} (\theta) = \text{polynom i } \sin \theta \text{ og/eller } \cos \theta$$

$$\Phi_{m_\ell} (\varphi) = e^{im_\ell \varphi}$$

Dvs tre kvantetall n, ℓ, m_ℓ :

$n = 1, 2, 3, \dots$ = hovedkvantetallet

$\ell = 0, 1, \dots, n-1$ = dreieimpulskvantetallet

$m_\ell = 0, \pm 1, \dots, \pm \ell$ = det magnetiske kvantetallet

Energi - egenverdier:

$$E_n = -m_e e^4 / 32 \pi^2 \epsilon_0^2 \hbar^2 n^2 \approx - \frac{13.6 \text{ eV}}{n^2}$$

(som i Bohrs modell)

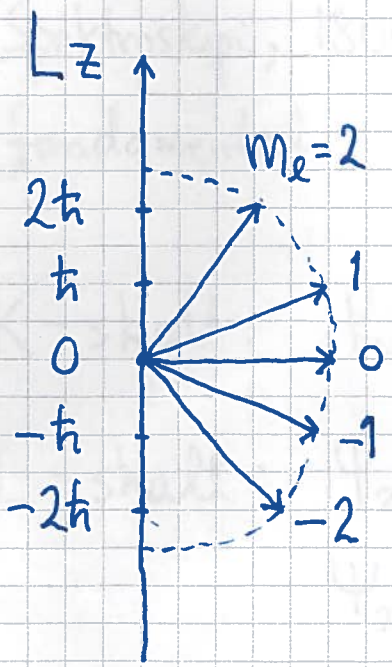
Kvantisert dreieimpuls:

$$L = |\vec{L}| = \sqrt{\ell(\ell+1)} \hbar = 0, \sqrt{2} \hbar, \sqrt{6} \hbar, \dots, \sqrt{n(n-1)} \hbar$$

Kvantisert en komponent av \vec{L} , her valgt i z-retning:

$$L_z = m_e \hbar = 0, \pm \hbar, \pm 2\hbar, \dots, \pm l\hbar$$

Eks: Hvis $l=2$, er $L = \sqrt{6} \hbar$, og L_z kan ha 5 ulike verdier.



Hvis H-atomet befinner seg i en gitt tilstand Ψ_{n, m_e} , betyr det at både E , L og L_z er skarpe samtidig. Da må \hat{H} , \hat{L} og \hat{L}_z kommutere innbyrdes (s. 60), noe de gjør! (Så lenge V er isotrop, $V = V(r)$.)

Men: Med skarp L_z er både L_x og L_y uskarpe!

\hat{L}_x , \hat{L}_y og \hat{L}_z kommuterer ikke innbyrdes:

$$[\hat{L}_x, \hat{L}_y] = i\hbar \hat{L}_z, [\hat{L}_y, \hat{L}_z] = i\hbar \hat{L}_x,$$

$$[\hat{L}_z, \hat{L}_x] = i\hbar \hat{L}_y$$

Notasjon:

n	1	2	3	4	...
skall	K	L	M	N	

Økende $n \Rightarrow$ økende utstrekning: $\langle \frac{1}{r} \rangle^{-1} = n^2 a_0$.

l	0	1	2	3	4	5	...
bokstav	s	p	d	f	g	h	

(Spektroskopi, 1800-tallet: sharp, principal, diffuse, fundamental; deretter alfabetisk)

K-skall: $\Psi_{100} = 1s$

L-skall: $\Psi_{200} = 2s$

$\Psi_{21-1}, \Psi_{210}, \Psi_{211} = 2p$

M-skall: $\Psi_{300} = 3s$

$\Psi_{31-1}, \Psi_{310}, \Psi_{311} = 3p$

$\Psi_{32-2}, \Psi_{32-1}, \Psi_{320}, \Psi_{321}, \Psi_{322} = 3d$

Degenerasjonsgrad: $g_n =$ antall ulike tilstander

$\Psi_{n\ell m_\ell}$ med lik energi E_n ; $g_1 = 1, g_2 = 4, g_3 = 9, \dots$

dvs $g_n = n^2$.